



نقش عوامل زمین‌شناسی بر میزان تخریب زمین‌لرزه‌ی افیر شهر بم

محمد غفوری^{۱*}، غلامرضا لشکری‌چلا^۱، حسین صادقی^۱، ناصر حافظی مقدس^۲، سید علی مسینی^۱

(۱) گروه زمین‌شناسی دانشگاه فردوسی مشهد: ghafoori@ferdowsi.um.ac.ir

(۲) گروه زمین‌شناسی دانشگاه صنعتی شهرورد

* عهده‌دار مکاتبات

پنجه

زمین‌لرزه‌ی قدرتمند بم روز جمعه پنج دی ماه سال ۱۳۸۲ هجری شمسی (۲۶ دسامبر ۲۰۰۳) در ساعت ۲۵:۵۶:۵ صبح به وقت محلی (GMT ۱:۵۵:۵۶) با بزرگی حدود $Mw=6.5$ در مقیاس ریشتر شهر تاریخی بم و روستاهای اطراف آن را در جنوب شرق ایران لرزاند. این زمین‌لرزه پر تلفات ترین زمین‌لرزه در سراسر جهان در سال ۲۰۰۳ میلادی گزارش شده است. در اثر وقوع این زمین‌لرزه حدود ۷۰ درصد ساختمان‌های شهر بم تخریب و بیش از ۲۶۰۰ نفر کشته شدند. اگرچه ساختمان‌های منطقه از مقاومت لازم در برای حرکات زمین‌لرزه برحوردار نبوده‌اند، اما با توجه به بزرگی زمین‌لرزه میزان خسارت وارد به ساختمان‌ها و تأسیسات شهری بسیار بیشتر از حد انتظار بوده است. یکی از دلایل این تخریب بالا، قرارگیری شهر بر روی خاک‌های کم مقاومت ریزدانه‌ی سیلی با خاصیت خمیری کم می‌باشد. در این مقاله دلایل تخریب بالا به سازه‌های شهر با توجه به نقش عوامل زمین‌شناسی، تکنیکی و جهت پانگی امواج لرزه‌ای و همچنین خصوصیات زئوتکنیکی رسوبات آبرفتی داخل شهر مورد بحث و بررسی قرار گرفته است.

واژه‌های کلیدی: بم، سیلت، ضخامت رسوبات، زمین‌شناسی، زمین‌لرزه.

The role of geological factors on the destruction of Bam city due to the recent earthquake

M. Ghafoori¹, G. R. Lashkaripour¹, H. Sadeghi¹, N. Hafezi-Moghaddas², S. A. Hussaini¹

1) Department of Geology, Ferdowsi University of Mashhad, Mashhad, I. R. Iran

2) Department of Geology, Technical University of Shahrood, Shahrood, I. R. Iran

Abstract

On Friday, December 26, 2003 at 1:55:56 GMT (5:25:56 local time), a powerful earthquake of moment magnitude (Mw) about 6.5 struck the ancient city of Bam and neighboring villages in the southeastern region of Iran. The highest death has been reported for this earthquake among all earthquakes in the world in the year 2003. About 70% of buildings in the city were damaged by the earth-

quake and more than 26000 people were killed. The main reason for such major damage may be weak adobe and brick structures. However, the damage was unexpectedly great for this magnitude. The city is located over low strength of fine grained soils such as silt with low cohesiveness and therefore, this is one of the main reasons for such large-scale destruction by the earthquake. This paper deals with the high damages in the city based on geology, tectonics and directivity of earthquake waves and also geotechnical parameters.

Key words: Bam, earthquake, geology, sediment thickness, silt

۲- زمین شناسی منطقه

با توجه به نقشه‌ی زمین شناسی (تصویر ۱) قدیمی‌ترین سنگ‌های منطقه که شامل ارتفاعات کپوتو (Kafut-Kuh) در شمال و جبال بارز در جنوب می‌باشد از سنگ‌های آتش‌نشانی اونسن تشکیل شده‌اند. در اثر فرسایش این سنگ‌ها، مخروط افکنه‌های نسبتاً بزرگی در شمال و جنوب منطقه به وجود آمده است. شهر برم روی رسوبات آبرفتی و ریزدانه‌ی سیلتی حاصل از فرسایش این ارتفاعات قرار گرفته است. بر اساس بررسی‌های انجام شده و مقطع زمین شناسی که از شهر برم از شمال به جنوب تهیه شده است، ضخامت این رسوبات از جنوب به شمال افزایش می‌یابد (حسینی ۱۳۸۴).

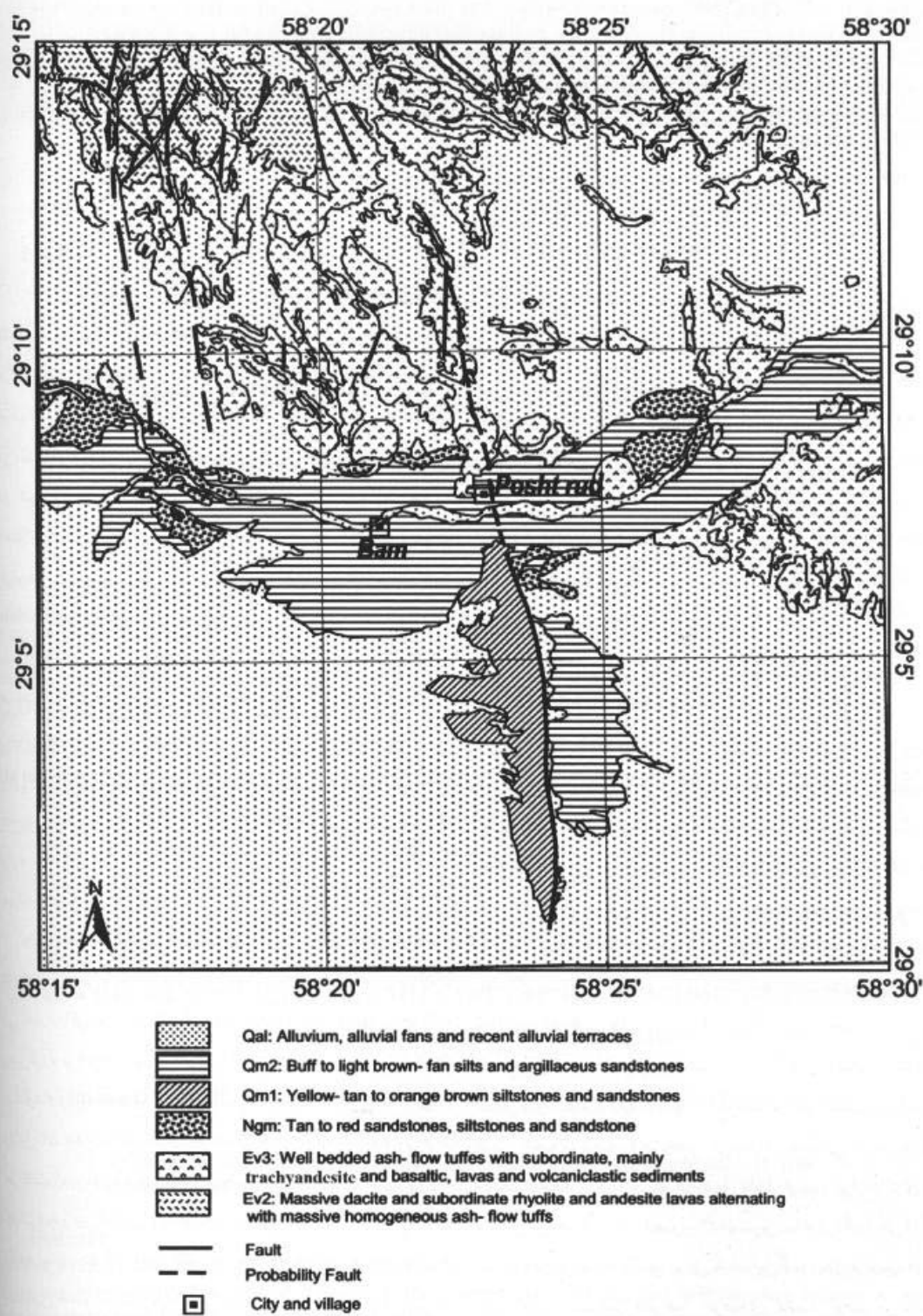
۳- تکتونیک منطقه

بر اساس تقسیم بندهی تکتونیکی ایران، منطقه‌ی برم در حاشیه‌ی جنوبی بلوک لوت قرار دارد (Alavi 1991). این بلوک از شمال به گسل درونه، از جنوب به فورفتگی جازموریان، از شرق به گسل نهندان و از غرب به گسل نایند محدود می‌گردد. به طور کلی دو سامانه‌ی گسلی اصلی با روند شمالی-جنوبی با کمی تمایل به سمت غرب و شمال غربی-جنوب شرقی در منطقه وجود دارد. این دو سامانه‌ی گسلی در ناحیه‌ی غربی دشت لوت با هم تلاقی می‌نمایند، به طوری که گسل‌هایی با روند شمال غربی-جنوب شرقی (گسل‌های کوهبنان و راور) همراه با گسل‌های شمالی-جنوبی (گسل‌های گلبار، نایند، چهارفرسخ، گوک، سروستان و برم) مرز غربی ناحیه‌ی لوت را مشخص می‌نمایند. منطقه‌ی برم در شرق سامانه‌ی گسلی امتداد لغز گوک که مرز بلوک لوت و ایران مرکزی را تشکیل می‌دهد قرار دارد (تصویر ۲). مهمترین ساختار تکتونیکی قابل مشاهده در این منطقه، گسل برم می‌باشد. این گسل یکی از گسل‌های امتداد لغز راست لغز اطراف حوضه‌ی دشت لوت می‌باشد (Okumura et al. 2004) که با راستای شمالی-جنوبی از فاصله‌ی

۱- مقدمه

در روز جمعه پنج دی ماه سال هجری شمسی ۱۳۸۲ زمین لرزه‌ای قدرتمند به بزرگی $Mw=6.5$ ریشتر شهر برم و اطراف آن را لرزاند. مرکز سطحی این زمین لرزه توسط مرکز تحقیقات ساختمان و مسکن ایران (Building and Housing Research Center, BHRC) در مکانی با مختصات جغرافیایی طول E ۳۵°۵۸' و عرض N ۲۹°۰۲' در شهر برم تعیین شده است. عمق کانونی زمین لرزه با توجه به اختلاف یک ثانیه‌ای بین زمان دریافت امواج P و S حدود هفت کیلومتر تخمین زده شده است (Shakib & Ahmadizadeh 2004). در این زمین لرزه ۲۶۲۷۱ نفر جان خود را از دست دادند و بیشتر از ۲۵۰۰۰ نفر مجروح شدند (مرکز آمار ایران ۱۳۸۲). همچنین به شهرهای برم، بروات و روستاهای اطراف آسیب‌های فراوانی رسید و حدود ۷۰ درصد از ساختمان‌های شهر برم تخریب شدند (Fu et al. 2004). در اثر این زمین لرزه به ارگ قدیمی و باستانی برم باقدمت حدود ۲۰۰۰ سال (بزرگترین بنای خشتنی جهان) آسیب‌های جدی وارد آمد. این زمین لرزه بالاترین تلفات انسانی را در این سال در سرتاسر جهان به خود اختصاص داد (Sadeghi et al. 2006).

با توجه به خسارات وارد، این زمین لرزه یکی از مخرب‌ترین وقایع تاریخی ایران می‌باشد (Fu et al. 2004). بررسی‌های صحراوی‌شناسانی می‌دهد که اگرچه ساختمان‌های منطقه از مقاومت لازم در برابر حرکات زمین لرزه برخوردار نبوده‌اند، اما با توجه به بزرگی زمین لرزه میزان خسارت وارد به شهر برم بسیار بیشتر از حد انتظار است. یکی از دلایل آن عدم برخورداری ساختمان‌ها از مقاومت لازم در برابر حرکات زمین لرزه بوده است. همچنین این بررسی‌ها نشان می‌دهد که شرایط زمین شناسی و تکتونیکی در این تخریب غیرمنتظره بی‌تأثیر نبوده است. در این مقاله تأثیر شرایط زمین شناسی و تکتونیکی و همچنین خصوصیات ژئوتکنیکی رسوبات آبرفتی شهر مورد بررسی فرار می‌گیرد.



تصویر ۱- نقشه‌ی زمین‌شناسی منطقه‌ی مطالعاتی

سه کیلومتری شرق و شمال شهر بم و یک کیلومتری غرب شهر بروات می‌گذرد. طول این گسل بیش از ۵۰ کیلومتر است و حدود ۱۰ کیلومتر آن در رسوبات عهد حاضر به خوبی قابل ریاضی می‌باشد (Benjumea et al. 2001). دانسته، سختی، ضخامت و سایر خصوصیات فیزیکی لایه‌های خاک همانند شدت حرکات لرزه‌ای از فاکتورهای مهم و موئی بر امواج لرزه‌ای می‌باشد (Ahmadizadeh & Shakib 2004) ۱۵ متر و طول ۱۲ کیلومتر بین شهرهای بم و بروات به خوبی قابل مشاهده است (Fu et al. 2004).

موج برشی لایه‌های نزدیک سطح زمین، کمتر از مقادیر آن‌ها در اعماق می‌باشد.

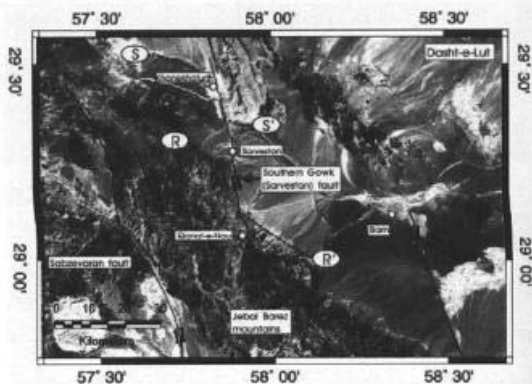
بررسی‌های زمین‌شناسی و ژئوتکنیکی در منطقه نشان داده است که خصوصیات زمین‌شناسی (جنس و ضخامت خاک) و ژئوتکنیکی منطقه نقش مهمی در تخریب داشته‌اند و این عامل تحت عنوان اثرات زمین‌شناسی ساختگاه مورد بررسی قرار می‌گیرد.

۱-۱-۱-هلس فاک

به طور کلی سازه‌هایی که بر روی رسوبات ریزدانه قرار دارند نسبت به سازه‌هایی که بر روی رسوبات درشت دانه قرار دارند، در اثر زمین‌لرزه بیشتر تخریب می‌شوند. زیرا امواج لرزه‌ای در زمین‌های سخت و با مواد متراکم تر سریع تر حرکت می‌کنند، بنابراین به علت سرعت بیشتر امواج انرژی کمتری در این نوع خاک‌ها آزاد می‌شود. این مطلب از نظر ژئوتکنیکی به این معنی است که تخریب کمتری در چنین مناطقی به وجود می‌آید. بر عکس در زمین‌های ضعیف و سست از سرعت امواج لرزه‌ای کاسته شده و مدت عبور موج از داخل آن‌ها افزایش می‌یابد، بنابراین انرژی زیادی در این مناطق آزاد شده، در نتیجه خسارت بیشتری نیز به سازه‌های منطقه وارد می‌شود. به همین دلیل مکرراً مشاهده می‌گردد که تخریب در مناطق پوشیده از رسوبات سست بیشتر از مناطق پوشیده توسط رسوبات سخت یا پسترهای سنگی می‌باشد (Coburn & Spence 2002).

مثلث در زمین‌لرزه سال ۱۹۵۷ دره‌ی مکریکوسیتی شتاب ایجاد شده در خاک‌های دریاچه‌ای بستر دره تقریباً دو برابر ماسه‌ها و گراول‌های متراکم واقع در اطراف دره بوده است.

بررسی‌های انجام شده نشان می‌دهد که خاک منطقه عمده‌ای از نوع سیلتی است که در طبقه‌بندی متحده Classification System (Unified Soil Classification System) در کلاس ML قرار می‌گیرد، بر اساس نتایج آزمایشات ژئوتکنیکی تعدادی از نمونه‌ها و بر اساس جدول



تصویر ۲- ساختارهای تکتونیکی منطقه بر روی تصویر ماهواره‌ای (Walker & Jackson 2002)

۱-۱-۲-دلایل تخریب غیرمنتظره‌ی شهر به

بررسی‌های نشان می‌دهد که علت تخریب بیش از حد شهر بم می‌توان به دو گروه تقسیم نمود (حسینی ۱۳۸۴)، گروه اول دلایل زمین‌شناسی و ژئوتکنیکی، گروه دوم دلایل تکتونیکی می‌باشد که در ذیل به شرح آن پرداخته می‌شود.

۱-۱-۳-دلایل زمین‌شناسی و ژئوتکنیک

از جمله پارامترهای موئی در خرابی‌های ناشی از زمین‌لرزه اثرات زمین‌شناسی محلی می‌باشد (حافظی مقدس و کمک‌پناه ۱۳۸۳)، وقوع زمین‌لرزه‌های مخرب مکریکوسیتی (۱۹۸۵)، لوما پرتا (۱۹۸۹)، نورث ریچ (۱۹۹۴)، کوبه (۱۹۹۵)، ازمیت (۱۹۹۵)، چی (۱۹۹۹)، منجلی (۱۹۹۰) و قائمه (۱۹۹۷) اهمیت عامل زمین‌شناسی محلی در گستردگی و شدت خرابی‌های زمین‌لرزه‌ها را بیش از پیش نمایان ساخت. به دلیل عبور امواج زمین‌لرزه از لایه‌های متعدد سنگ و خاک، شرایط فیزیکی این لایه‌ها بر امواج لرزه‌ای اثر می‌گذارند. با وجود این که امواج زلزله از میان چندین کیلومتر سنگ و غالباً کمتر از

طبقه‌بندی خاک‌های ایران در آیین نامه ۲۸۰۰، خاک‌های منطقه‌ی به نیز نسبت به مناطق سنگی افزایش می‌یابد (Aki 1993). به عنوان

مثال در زمین لرزه‌ی کاراکاس (۱۹۶۷) الگوی خسارت ساختمان‌ها رابطه‌ی مستقیمی با ضخامت آبرفت‌های سست روی سنگ بستر داشته است (Semih et al. 2002). به طوری که در بخش شرقی شهر، که ضخامت خاک زیاد بوده است (۹۰ تا ۲۱۰ متر)، خسارت بیشتری نسبت به بخش غربی با عمق خاک کمتر (۱۸ تا ۶۰ متر) مشاهده گردیده است. بنابراین ضخامت خاک می‌تواند به عنوان یک عامل مؤثر در تقویت زمین لرزه محاسبه گردد.

مطالعات اکی و ایریکورا (Aki & Irikura 1991) در ایالات

متحده و رایان نشان داد که مناطق پوشیده شده توسط رسوایات باعث تقویت بیشتر دامنه‌ی امواج لرزه‌ای نسبت به مناطق با پوشش سنگی می‌شوند. مک‌موردو (MacMurdo 1824) خاطرنشان ساخت که در زمین لرزه‌ی ۱۸۱۹ کج (Catch) در هندوستان، ساختمان‌هایی که در آن‌ها بر سنگ مستقر بوده نسبت به ساختمان‌هایی که شالوده‌ی آن‌ها روی لایه‌ی خاکی بنا شده کمتر تحت تأثیر قرار گرفته‌اند.

با توجه به مشخص نبودن ضخامت آبرفت در منطقه، تأثیر آن به صورت موردي در منطقه‌ی ارگ به مورد مطالعه قرار گرفت. این محل تهاب جایی در شهر به است که رخنمون سنگی از جنس دیوریت در آن مشاهده می‌شود. با توجه به شرایط زمین شناسی و زمین ریخت شناسی از جمله شبکه سنگی تپه و مقطع رودخانه‌ی پشت رود در شمال ارگ، با فاصله گرفتن از پای تپه‌های سنگی ضخامت رسوایات نیز افزایش می‌یابد (تصویر ۴). بررسی‌های محلی در این منطقه نشان می‌دهد، دیوارهایی که آن‌ها بر روی سنگ قرار گرفته است آسیب چندانی ندیده‌اند، اما با فاصله گرفتن از این تپه‌ی سنگی، میزان خسارات نیز افزایش می‌یابد.

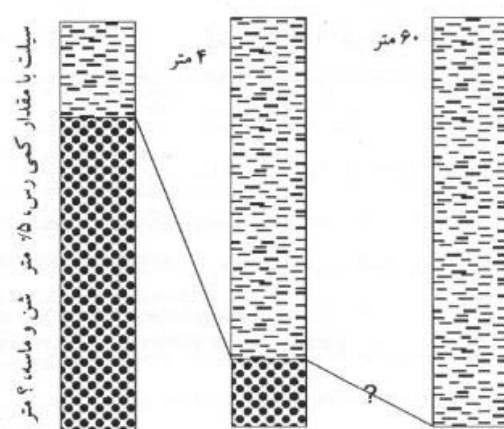
در تصویر ۴، منطقه‌ی ارگ به مبالغه از این منطقه خسارات وارد شده به آن به سه قسم A، B و C تقسیم شد. منطقه‌ی A با توجه به این که دیوارها بر روی بی‌سنگی بنا شده‌اند، خسارت شدیدی وارد نشده است. حال آن‌که با فاصله گرفتن از این منطقه و قرار گیری پی سازه‌ها بر روی رسوایات نرم (قسمت‌های B و C)، میزان خسارات نیز افزایش می‌یابد. ضخامت رسوایات از منطقه‌ی B به منطقه‌ی C افزوده می‌گردد، بنابراین میزان خسارت منطقه‌ی B کمتر از منطقه‌ی C می‌باشد، به طوری که در منطقه‌ی B تعداد زیادی از دیوارها هنوز

در کلاس III قرار می‌گیرند (جدول ۱).

جدول ۱- نتایج آزمایشات بر روی خاک‌های منطقه

ردیف	موقعیت	$c(\text{kg}/\text{cm}^2)$	PI	LL (%)	$(\text{g}/\text{cm})^3$
۱	پرنگ، گسل به	۰.۵	-	۲۱	۱۷۱
۲	پرنگ، گسل به	۰.۳	-	۲۴	۱۷
۳	حاشیه‌ی رودخانه پیدران	۰.۴	-	۲۰	۱۱
۴	حاشیه‌ی رودخانه پیدران	۰.۳	-	۲۱	۱۱
۵	کال خیابان این سینا	۰.۲	-	۲۰	۱۰
۶	آوار	۰.۱	-	۲۰	۰.۹
۷	دیوار	۰.۷	۷	۲۳	۱۰

جهت تعیین تغییرات جنس خاک منطقه، یک مقطع در راستای شمال-جنوب از خاک‌های شهر به تهیه شد (تصویر ۳) (حسینی ۱۳۸۴). در این تصویر مقطع (a) در خیابان شهید رجایی جنب استادیوم فوتبال در جنوب شهر به، مقطع (b) در خیابان امام خمینی مرکز شهر و مقطع (c) در تقاطع خیابان این سینا با کال رودخانه در شمال به برداشت شده است. همان‌طور که ملاحظه می‌گردد، در آن‌ها روی لایه‌ی خاکی بنا شده کمتر تحت تأثیر قرار گرفته‌اند. قسمت جنوبی شهر ضخامت رسوایات ریزدانه کم (در حدود ۰/۵ متر) و به طرف شمال شهر بر ضخامت این رسوایات افزوده می‌گردد (بیش از شش متر)، این افزایش ضخامت تا حاشیه‌ی رودخانه‌ی پشت رود ادامه می‌یابد. بنابراین قسمت اعظم شهر بر روی این رسوایات ریزدانه قرار گرفته است. با توجه به مطالع فوق وجود این رسوایات ریزدانه در زیر شهر به می‌تواند یکی از دلایل تخربی زیاد باشد.

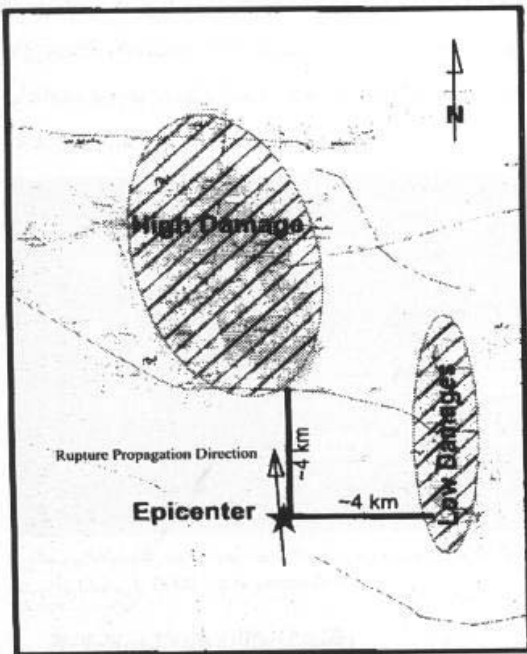


تصویر ۴- مقطع تپ لایه‌های رسوایی در شهر به، (A) خیابان شهید رجایی، (B) خیابان امام خمینی، (C) خیابان این سینا



تصویر ۴- تقسیم بندی میزان خسارات وارد به ارگ قدیم به: A: پی سنگی با میزان خسارت کم، B: پی روی آبرفت با ضخامت کم با میزان خسارت زیاد، C: پی روی آبرفت با ضخامت خیلی زیاد با میزان خسارت بسیار زیاد

به طور کامل فرو نزیخته اند، اما در منطقه C تقریباً نمی توان دیوار سالمی را یافت، به طور کلی در این ناحیه افزایش میزان خسارت با افزایش ضخامت رسوبات رابطه‌ای مستقیم دارد، افزایش ضخامت رسوبات آبرفتی احتمالاً باعث تقویت محلی امواج لرزه‌ای با دور شدن از پای تپه شده و در نتیجه افزایش شدت تخریب را نیز دربر داشته است.



تصویر ۵- اثر جهت یافتنگی امواج در میزان تخریب شهرهای بم و برووات (Jafargandomi et al. 2005)

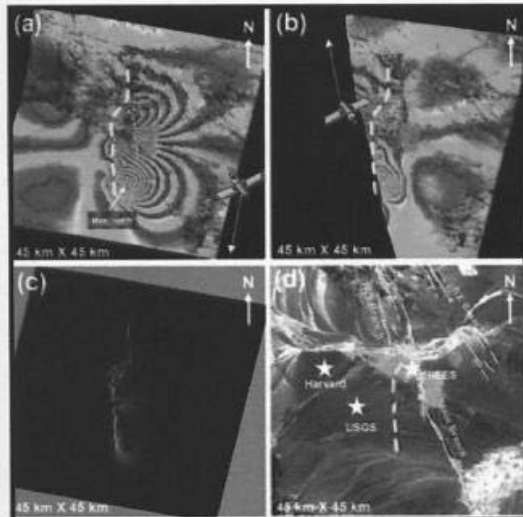
۴-۱- اثرات تکتونیک

به طور کلی اثرات تکتونیک بر میزان تخریب منطقه را می توان از جنبه‌های جهت یافتنگی امواج زلزله، شاخه‌های فرعی گسل میان زمین لرزه، مکانیزم و الگوی گسلش مورد بحث قرار داد.

۴-۲- جهت یافتنگی امواج (Directivity)

اثر جهت یافتنگی امواج لرزه‌ای زمانی ظاهر می شود که جهت لغزش گسل و گسترش موج ثابت به منطقه‌ی مورد مطالعه در یک جهت باشند. جهت یافتنگی امواج توسط عواملی از جمله فاصله کانونی، زاویه‌ی بین منشاء و منطقه‌ی مورد بررسی و بزرگی زلزله تحت تأثیر قرار می گیرد (Somerville et al. 1997, Somer ville 2003, Miyake et al. 2001) در نقشه‌ی تخریب شهر بم و برووات که توسط سازمان نقشه‌برداری کشور تهیه شده است به خوبی مشاهده نمود (تصویر ۵)، همان طور که در این تصویر مشاهده می شود، شهر بم و برووات تقریباً در فاصله

گسل مسبب زمین‌لرزه را با جهت شمال-جنوب معرفی کرده است (تصویر ۷). مورفولوژی گسل به صورتی است که شهر بم بر روی قوس میانی گسل قرار دارد. از طرفی ناکامورا و همکاران (Nakamura et al. 2005) شاخه‌های فرعی را در این گسل شناسایی نموده‌اند که به طرف شرق و شمال شرق امتداد دارند (تصویر ۶).



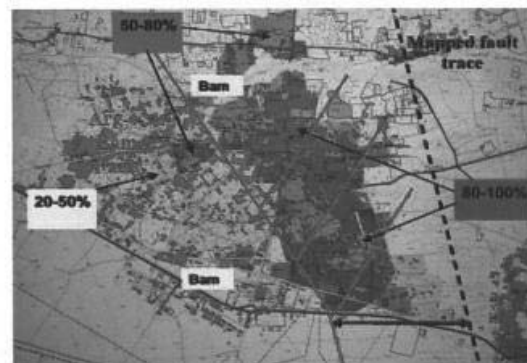
تصویر ۷- مدل گسل مسبب زمین‌لرزه، ارائه شده توسط ونگ et al. 2004

فیلدینگ و همکاران (Fielding et al. 2005) در قسمت جنوبی شهر بم یک مدل با چهار قطعه‌ی چپ‌پل‌های را بر روی گسل بم شناسایی و معرفی نمودند. این مدل پلکانی نشان‌دهنده‌ی یک لغزش تیپیک امتداد لغز در منطقه می‌باشد. تلفیق داده‌های ونگ و همکاران، ناکامورا و همکاران و فیلدینگ و همکاران (Wang et al. 2005, Nakamura et al. 2004, Fielding 2005) معرفت تصویر تیپیک یک گسل امتداد لغز راستگرد می‌نماشند (تصویر ۸). همان‌طور که در این تصویر مشخص است، گسل امتداد لغز راستگرد دارای تصویر تیپیک Z و تعدادی شاخه‌ی فرعی می‌باشد. شاخه‌های فرعی در مرکز، ابتداء و انتهای گسل قرار دارند. با مقایسه‌ی تصویر ۸ و اشکال معرفی شده برای گسل ارگ بم مشخص می‌گردد که شاخه‌های فرعی گسل که توسط ناکامورا و همکاران (Nakamura et al. 2005) معرفی گردیده است در قسمت میانی گسل اصلی قرار دارند. به دلیل قرارگیری این شاخه‌ها در اعماق مختلف زمین، اثر

۴-۱۲-۴- اثر شاخه‌های فرعی گسل مسبب زمین‌لرزه

تحقیقات انجام شده توسط ناکامورا و همکاران (Nakamura et al. 2005) و ونگ (Wang et al. 2004) نشان داد که گسل مسبب زمین‌لرزه یک گسل پنهان در حدود سه و نیم کیلومتری غرب گسل بم بوده است. این گسل دارای شاخه‌های فرعی است که توسط ناکامورا و همکاران (Nakamura et al. 2005) سه شاخه‌ی فرعی آن شناسایی شد. به عقیده‌ی این محققین شاخه‌های فرعی این گسل در اعماق مختلف قرار دارند، به همین دلیل اثر سطحی آن‌ها مشاهده نشده است. این افراد، نام گسل مسبب زمین‌لرزه را گسل ارگ بم اطلاق نمودند.

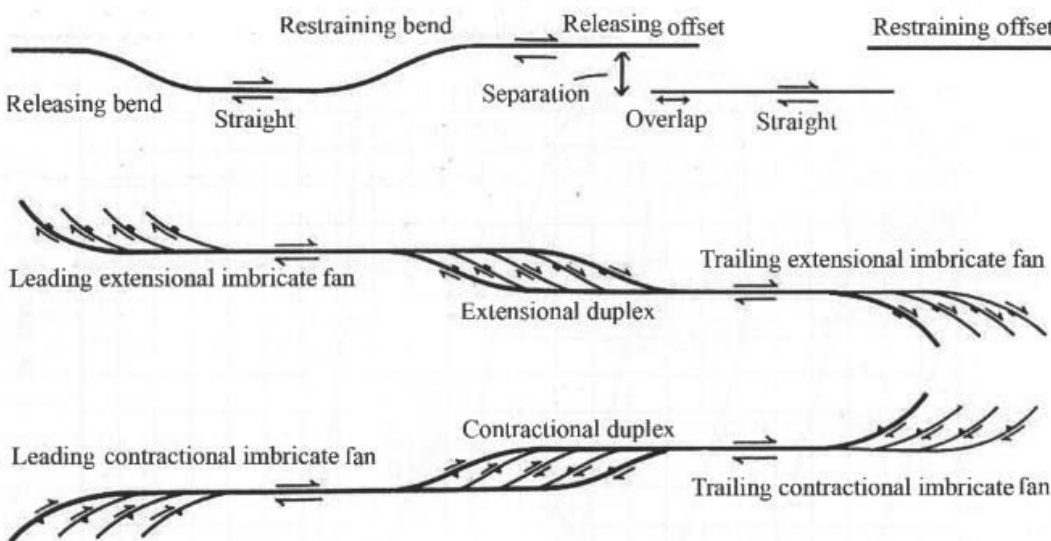
با توجه به تصویر ۶ خسارات واردہ به شهر بم به صورت یکنواخت گسترش یافته است، به طوری که تخریب در قسمت شرقی بم به مراتب بیشتر از قسمت غربی آن می‌باشد. یکی از دلایل بروز این وضعیت در منطقه، مورفولوژی و تصویر گسل ارگ بم باشد. شهر بم بر روی این گسل و در جهت گسترش شکستگی اصلی آن قرار گرفته است. اما سه شکستگی فرعی نیز در اطراف این گسل شناسایی شده که از این گسل منشعب می‌شوند. با روی هم اندازی نقشه‌ی تخریب منطقه و گسل ارگ بم به همراه شاخه‌های فرعی آن (تصویر ۶) مشخص می‌گردد که این شکستگی‌ها به طرف شرق بم جایی که بیشترین خسارات در آن دیده می‌شود، گسترش یافته‌اند. وجود این شاخه‌های فرعی و جهت گسترش آن‌ها یکی از دلایل وقوع تخریب زیاد در قسمت شرقی شهر بم نسبت به قسمت غربی آن می‌باشد.



تصویر ۸- گسترش میزان خسارات در اثر زمین‌لرزه‌ی بم در اطراف گسل مسبب آن (نقیض از Nakamura et al. 2005)

۴-۱۲-۵- مکانیزم و الگوی گسل‌ش

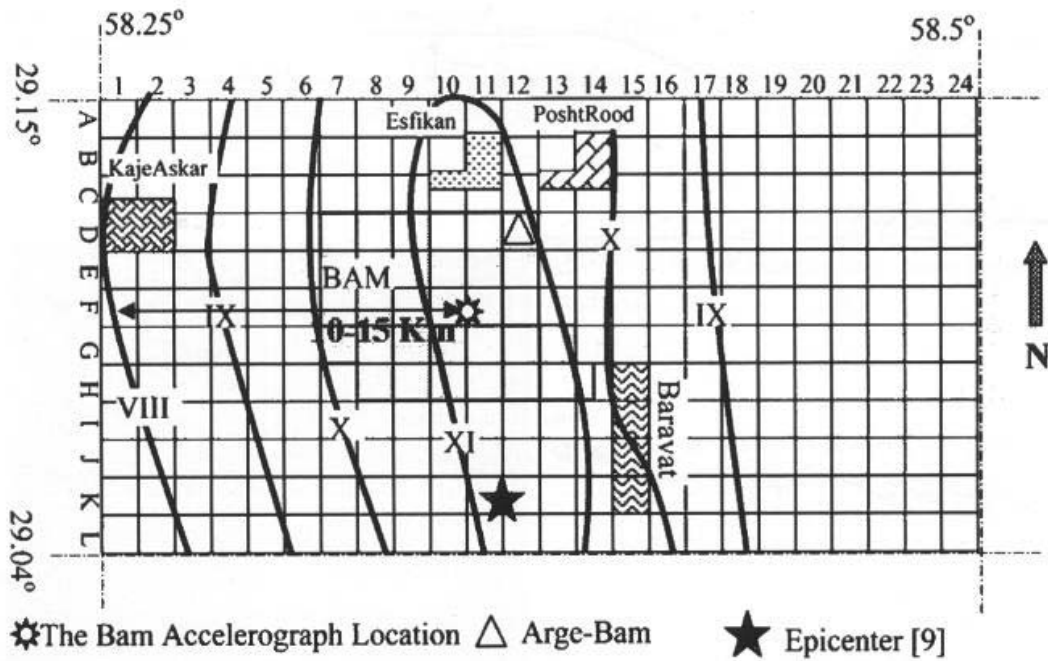
ونگ (Wang et al. 2004) با استفاده از داده‌های ماهواره‌ای،



تصویر ۸- نقشه‌ی گسل ایده‌ال امتداد لغز راستگرد (Woodcock Fischer 1986)

تقریباً تمام انرژی امواج تا شعاع ۱۰ کیلومتری تخلیه شده است. بروزی ها نشان داده است که شرایط زمین‌شناسی و زمین‌ساختی منطقه در ایجاد میرایی موثر بوده است. به طور کلی هر چه سنگ پی با مسیر عبور امواج متراکم تر باشد سرعت عبور موج در آن بیشتر است و در نتیجه امواج انرژی کمتری را از دست می‌دهند، بالعکس اگر گفته شد، شهر بم بر روی این قسمت از گسل قرار داشته و این می‌تواند یکی از دلایل تخریب بیش از حد این شهر نسبت به سایر محیط دارای چگالی و تراکم کم باشد سرعت امواج در آن کاهش پافته و در نتیجه انرژی بیشتری را در آن محیط از دست می‌دهند که سبب میراثدن موج می‌گردد. هنگامی که امواج P یا S از میان گسلهای پاترکی موجود در سنگ نیز عبور می‌کنند انرژی خود را از دست داده و میرایی شوند (Worthington et al. 2001). این امر نیز به دلیل وارد شدن موج از یک محیط با چگالی بیشتر (سنگ) به محیط با چگالی کمتر (درز و شکاف ها و زون خردشده‌ی گسل) است.

با توجه به بروزی های صحرابی و تصویر^۹ مشخص گردید که وسعت خرابی های زمین لرزه‌ی بم محدود به شعاع ۱۰ تا ۱۵ کیلومتر اطراف منطقه (شدت VIII) می‌باشد و در نقاط دورتر از آن آثار خرابی قابل توجهی مشاهده نمی‌شود. اگر وسعت خرابی های این زمین لرزه را با زمین لرزه های دیگری همانند رودبار- منجیل ایران (۱۳۶۹) و گجرات هند (۲۰۰۱) که منحنی هم شدت VIII آنها شاعع ۱۰۰ کیلومتر گسترش یافته است مقایسه گردد در می‌باشیم که گسترش خرابی های زمین لرزه‌ی بم نسبت به زمین لرزه های ذکر شده بسیار محدود و کم می‌باشد. این امر نشان دهنده‌ی وجود میرایی در اثر خرد شدن سنگ های اطراف آنها به وجود می‌آیند. بنابراین (Damping) بسیار شدید در زمین لرزه‌ی بم می‌باشد، به طوری که



تصویر ۹- نقشه‌ی هم‌شدت زلزله‌ی بم (Mostafaei & Kabeyasawa 2005)

زون‌های برشی نسبت به توده‌ی سنگ دارای تراکم و چگالی کمتری و بر روی رسوبات ریزدانه ML (سیلت با خاصیت خمیری کم) قرار هستند. با توجه به مطلب بالا، هنگامی که موجی وارد این منطقه نیز از این گرفته است، جنس اکثر ساختمان‌های خشت و گلی منطقه نیز از این انرژی خود را از دست داده و میرا می‌شود. با توجه به میرایی رسوبات خاک‌های سیلی شکل شده است. ضخامت این رسوبات از جنوب به شمال منطقه افزایش می‌یابد. سازه‌هایی که بر روی این رسوبات بنا شده‌اند نسبت به سازه‌هایی که بر روی رسوبات درشت دانه یا حرکات تکتونیکی خرد شده و درهم ریخته شده است، از آنجا که گسل مسبب زمین‌لرزه‌ی بم، گسل پنهانی بوده است که هیچ گونه اثر سنگ‌ها بنا شده‌اند بیشتر آسیب دیده‌اند. علاوه بر این افزایش ضخامت این رسوبات نیز با میزان تخریب ساختمان‌ها در منطقه همانند آن در منطقه که باعث خردشدن بیشتر سنگ بی‌شده باشند، ارتباط مستقیم دارد.

از نظر تکتونیکی، منطقه‌ی بم در یک منطقه‌ی فعال قرار دارد به وجود دارد.

همین دلیل سنگ بی‌منطقه‌ی متاثر از این فعالیت است که این مسئله می‌تواند در گسترش کم تخریب به مناطق اطراف موثر باشد. همچنین

۵- تقویت‌گیری

بررسی‌ها نشان داده است که اگرچه ساختمان‌های شهر بم از مقاومت لازم در برابر حرکات زمین‌لرزه بربخودار نبوده‌اند، اما با توجه به بزرگی زمین‌لرزه میزان خسارت وارد به شهر بم بسیار بیشتر زمین‌لرزه قرار دارد. به همین دلیل خرابی شهر بم به دلیل قرارگیری در جهت گسیختگی و انتشار امواج بسیار بیشتر از شهر بروات بوده که در مسیر گسیختگی و انتشار امواج قرار نداشته است.

از نظر زمین‌شناسی منطقه‌ی بم دارای زمین‌شناسی جوانی است

Miyake, H., Iwata, T. & Irikura, K., 2001, "Estimation of rupture propagation direction and strong motion generation area from azimuth and distance dependence of source amplitude spectra", *Geophys. Res. Lett.*, Vol. 28 (14): 2727- 2730.

Mostafaei, H. & Kabeyasawa, T., 2005, "Investigation and analysis of damage to buildings during the 2003 Bam earthquake", *Bulletin of the Earthquake Research Institute*, Vol. 79 (3/4): 107-132.

Nakamura, T., Suzuki, S., Sadeghi, H., Fatemi Aghda, S. M., Matsushima, T., Ito, Y., Hosseini, S. K., Gandomi, A. J. & Maleki, M. 2005, "Source fault structure of the 2003 Bam earthquake, southern Iran, inferred from the aftershock distribution and its relation to the heavily damaged area: Existence of the Arg-e-Bam fault proposed", *Geophys. Res. Lett.* 32 p:109308.

Okumura, K., Kondo, H., Azuma, T., Echigo, T. & Hessami, K., 2004, "Surface effects of the December 26, 2003 Bam fault in southeastern Iran", *Reconnaissance Report on the 2003 Bam Earthquake in Southeast Iran*, 39-52.

Sadeghi, H., Fatemi Aghda, S. M., Suzuki, S. & Nakamura, T. 2006, "3-D velocity structure of the 2003 Bam earthquake area (SE Iran): Existence of a low-Poisson's ratio layer and its relation to heavy damage", *Tectonophysics*, Vol. 417 (3-4): 269-283.

Semih, S. T., Kaya, E., Engin, I. B. & Ozdemir, Z., 2002, "Seismic amplification at Avclar, Istanbul", *Eng. Struc.*, Vol. 24 (5): 661-667.

Somerville, P. G., 2003, "Magnitude scaling of the near-fault rupture directivity pulse", *Phys. Earth Planet Inter.*, Vol. 137 (1-4): 201- 212.

Somerville, P. G., Smith, N. F., Graves, R. W. & Abrahamson, N. A., 1997, "Modification of empirical strong ground motion attenuation relations to include the amplitude and duration effects of rupture directivity", *Seismological Res. Lett.*, Vol. 68 (1): 199- 222.

Walker, R. & Jackson, J., 2002, "Offset and evaluation of the Gowk fault, S.E. Iran: a major intra-continental strike-slip system", *J. Struc. Geol.*, Vol. 24: 1677-1698.

Wang, R., Xia, Y., Grosser, H., Wetzel, H. U., Zschau, J. & Kaufmann, H., 2004, "The 2003 Bam (SE Iran) earthquake: precise source parameters from satellite radar Interferometry", *Geophys. J. Int.*, Vol. 159: 917-922.

Woodcock, N. H. & Fischer, M., 1986, "Strike-slip duplexes", *J. Struc. Geol.*, Vol. 8: 123-131.

Worthington, M. H., King, M. S. & Marsden, J. R., 2001, "Determining the damping factor of sedimentary rocks required for seismically designed structures", *Int. J. Rock Mech. & Min. Sci.*, Vol. 38: 801-806.

مراجع

حسینی، س.ع، ۱۳۸۴، بررسی اثر ساختگاه و پدیده‌های زئوتکنیک لرزه‌ای منطقه‌ی بم پس از زمین‌لرزه‌ی ۵ دی ماه ۱۳۸۲، پایان نامه‌ی کارشناسی ارشد زمین‌شناسی مهندسی، دانشگاه فردوسی مشهد، ۱۷۴ ص.

حافظی مقدس، ن. کمک پناه، ع، ۱۳۸۳، طبقه‌بندی اثرات ساختگاهی زمین‌لرزه‌ها (طالعه‌ی مروری استگاه‌های شتاب نگاری شرق ایران)، مجله‌ی علوم و فنون، دانشگاه صنعتی شاهرود، شماره‌ی ۲۶-۲: ۳۲

مرکز تحقیقات ساختمان و مسکن، قابل دسترسی در سایت <http://www.bhrc.ac.ir> (11 November 2008)

مرکز آمار ایران، ۱۳۸۲، قابل دسترسی در سایت <http://www.sci.or.ir/persia/index.htm> (11 November 2008)

Ahmadizadeh, M. & Shakib, H., 2004, "On the December 26, 2003, southeastern Iran earthquake in Bam region", *Eng. Struc.*, Vol. 26 (8): 1055-1070.

Aki, K., 1993, "Local site effects on weak and strong ground motion", *Tectonophysics*, Vol. 218: 1251-1279.

Aki, K. & Irikura, K., 1991, "Characterization and mapping of earthquake shaking for seismic zonation", *Proceedings of the Fourth International Conference on Seismic Zonation, EERI (Earthquake Engineering Research Institute)*, Vol. 1: 61-96.

Alavi, M., 1991, "Tectonic map of the Middle East, Scale 1:5,000,000, 1 Sheet", *Geol. Surv. Iran*.

Benjumea, B., Pullan, S. E., Hunter, J. A., Burns, R. A., Douma, M. & Eaton, D., 2001, "Near-surface seismic methods applied to site-response characterization at an earthquake monitoring station near London, Ontario", *Geol. Surv. Can.*, E7, 15p.

Coburn, A. & Spence, R., 2002, "Earthquake Protection", John Wiley & Sons, Ltd, England, 420p.

Fielding, E. J., Talebian, M., Rosen, P. A., Nazari, H., Jackson, J. A., Ghorashi, M. & Walker, R., 2005, "Surface ruptures and building damage of the 2003 Bam, Iran, earthquake mapped by satellite synthetic aperture radar interferometric correlation", *J. Geophys. Res.*, Vol. 110: B03332, doi: 10.1029/2004JB003299.

Fu, B., Ninomiya, Y., Lei, X., Toda, Sh. & Awata, Y., 2004, "Mapping active fault associated with the 2003 Mw 6.6 Bam (SE Iran) earthquake with ASTER 3D images", *Remote Sensing of Environment*, Vol. 92 (2): 153-157.

Jafargandomi, A., Fatemi Aghda, S. M., Suzuki, S. & Nakamura, T. 2005, "Strong ground motions of the 2003 Bam earthquake, southeast of Iran (Mw= 6.5)", *Bulletin of the Earthquake Research Institute*, Vol. 79 (3/4): 47-57.

MacMurdo, J., 1824, "Papers relating to the earthquake which occurred in India in 1819", *Philosophical Magazine*, Vol. 63: 105-177.